Молекулярно-генетическая диагностика синдрома Барде-Бидля с помощью МПС-панели генов

Орлова М.Д., Гундорова П., Поляков А.В.

ФГБНУ «Медико-генетический научный центр имени академика Н.П. Бочкова» 115522, г. Москва, ул. Москворечье, д. 1

Синдром Барде-Бидля – аутосомно-рецессивное заболевание, характеризующееся ожирением, пигментной дегенерацией сетчатки, полидактилией, задержкой психоречевого развития и структурными повреждениями почек. В работе представлены результаты применения МПС-панели, включающей кодирующие последовательности и прилегающие интронные области 21 гена, ассоциированного с синдромом Барде-Бидля. Впервые была проведена молекулярно-генетическая диагностика в группе из сорока российских пациентов с синдромом Барде-Бидля из неродственных семей. В результате исследования удалось подтвердить диагноз молекулярно-генетическим методом у 40% пациентов (n=16). В генах ВВS1 и ВВS10 встретились повторяющиеся варианты. Частота встречаемости патогенных и вероятно патогенных вариантов в генах ВВS1 и ВВS10 у российских пациентов соответствует зарубежным данным. Варианты в гене ВВS7 встретились у пяти человек, у четырех из них был обнаружен патогенный вариант с.1967_1968delTAinsC, не встречающийся в других популяциях. Результаты, представленные в статье, показывают значительный вклад в заболеваемость синдромом Барде-Бидля в российской популяции патогенных вариантов в гене ВВS7.

Ключевые слова: синдром Барде-Бидля, массовове параллельное секвенирование, МПС-панель, NGS

Для цитирования: Орлова М.Д., Гундорова П., Поляков А.В. Молекулярно-генетическая диагностика синдрома Барде-Бидля с помощью МПС-панели генов. *Медицинская генетика* 2021; 20(3): 26-35.

DOI: 10.25557/2073-7998.2021.03.26-35

Автор для корреспонденции: Орлова Мария Дмитриевна; e-mail: m.d.orlova@ya.ru

Финансирование. Работа выполнена в рамках госзадания Минобрнауки России для ФГБНУ «МГНЦ».

Конфликт интересов. Авторы заявляют об отсутствии конфликтов интересов.

Поступила: 15.01.2021.

Molecular genetic diagnostics of Bardet-Biedl syndrome with an MPS-panel

Orlova M.D., Gundorova P., Poliakov A.V.

Research Centre for Medical Genetics Moskvorechye str. 1, Moscow, 115522, Russia

Bardet-Biedl syndrome is an autosomal recessive disorder characterized by obesity, retinitis pigmentosa, polydactyly, development delay, and structural kidney defects. This study shows the results of using an MPS panel that includes coding sequences and intronic areas of 21 genes associated with Bardet-Biedl syndrome. For the first time molecular genetic testing has been provided for the group of 40 Russian patiens with Bardet-Biedl syndrome from unrelated families. As a result of the testing, diagnoses were confirmed for 40% of the patients (n=16). The genes *BBS1*, *BBS7*, *BBS10* had recurrent variants. The frequency of pathogenic and likely pathogenic variants in the genes *BBS1* and *BBS10* among Russian patients matches the research data in other countries. Variants in the *BBS7* gene were found for five people, four of them had a pathogenic variant c.1967_1968delTAinsC, which is not present among other populations. Results provided in this article show the significant role of pathogenic variants in the *BBS7* gene in patients with Bardet-Biedl syndrome in Russian population.

Keywords: Bardet-Biedl Syndrome, MPS, MPS-panel, NGS.

For citation: Orlova M.D., Gundorova P., Poliakov A.V. Molecular genetic diagnostics of Bardet-Biedl syndrome with an MPS-panel. *Medicinskaja genetika* [Medical genetics] 2021; 20(2): 26-35. (In Russ.).

DOI: 10.25557/2073-7998.2021.03.26-35

Corresponding author: Maria D. Orlova; e-mail: m.d.orlova@ya.ru

Funding. The research was carried out within the state assignment of Ministry of Science and Higher Education of the Russian Federation for Research Centre for Medical Genetics.

Conflict of interest. Authors declare no conflicts of interest.

Accepted: 15.01.2021.

индром Барде-Бидля — генетическое заболевание, относящееся к группе цилиопатий. Синдром Барде-Бидля наследуется по аутосомнорецессивному типу, его распространенность оценивается в 1:140000-160000 человек (Европа и Северная Америка) [1]. В некоторых изолированных популяциях это заболевание встречается чаще [2]. К типичным проявлениям синдрома Барде-Бидля относятся пигментная дегенерация сетчатки, ожирение, полидактилия, гипогонадизм, структурные аномалии почек, задержка психоречевого развития, умственная отсталость.

Цилиопатии — группа генетических заболеваний, характеризующихся структурным или функциональным повреждением цилий. К группе цилиопатий также относятся синдромы Жубер, Альстрёма, Сениора-Локена, Картагенера, Меккеля-Грубера, Маккьюсика-Кауфмана, врожденный амавроз Лебера и другие.

Цилии — тонкие микротрубочковые органеллы, расположенные на поверхности клеток. Существует два типа цилий: подвижные и неподвижные. Подвижные цилии осуществляют движение жидкости по эпителию дыхательных путей, желудочков мозга и фаллопиевых труб. Неподвижные цилии присутствуют практически в каждом типе клеток человеческого организма. Они отвечают за распознавание внешних стимулов и выполняют функцию фоторецепторов и обонятельных рецепторов. На данный момент известно, что неподвижные цилии играют важную роль в клеточной сигнализации, необходимой для развития и правильного функционирования организма.

Основание цилии образует базальное тело. Базальное тело служит основой для формирования аксонемных микротрубочек. Основу цитоскелета цилии составляет аксонема. Между базальным телом и аксонемой существует транзитная зона, которая преобразует микротрубочковую структуру базального тела в аксонемную. Аксонема отвечает за интрафлагеллярный транспорт. Интрафлагеллярный транспорт включает антероградный транспорт, который реализует доставку сигнальных молекул на поверхность цилии, и ретроградный транспорт, осуществляющий их удаление с поверхности цилии. На верхушке цилии происходит переключение между антероградным и ретроградным интрафлагелярным транспортом. Мембрана цилии является продолжением цитоплазматической мембраны клетки [3].

Важнейшим компонентом правильного функционирования цилии является ББСома — октамер, состоящий из белков BBS1, BBS2, BBS4, BBS5, BBS7, TTC8, BBS9 и BBIP1 [4]. ББСома выступает в качестве связующего звена между транспортными белками и сигнальными молекулами, доставляемыми и удаляемыми с поверхности цилии путём интрафлагеллярного транспорта.

На данный момент известен 21 белок, ассоциированный с синдромом Барде-Бидля. Кроме вышеупомянутых белков, образующих ББСому, это белки, отвечающие за ее сборку. Кроме того, в правильной работе цилии участвуют регуляторные и транспортные белки, а также белки, участвующие в построении самой цилии.

Наиболее часто патогенные изменения встречаются в генах *BBS1* (22-23%), *BBS10* (20-28,6%), *BBS2* (8-15,9%), BBS12 (5-14,3%) [1, 5]. Описаны наиболее часто встречающиеся варианты нуклеотидной последовательности у пациентов с синдромом Барде-Бидля. Самым частым в гене *BBS1* является вариант с.1169T>C, приводящий к миссенс-замене р.Меt390Arg [6]. В гене *BBS10* также описаны мажорные патогенные варианты: дупликация с.271dup, приводящая к сдвигу рамки считывания и формированию преждевременного терминирующего кодона р.Cys91LeufsTer5 [7, 8], а также однонуклеотидный вариант с.145C>T, приводящий к миссенс-замене р.Arg49Trp [7].

Целью настоящей работы было определение мажорных генов и спектра патогенных вариантов нуклеотидной последовательности у российских пациентов с клиническим диагнозом *синдром Барде-Бидля*.

Материалы и методы

Было исследовано 40 образцов ДНК пациентов с направительным диагнозом *синдром Барде-Бидля*. Все пациенты были осмотрены врачами-генетиками ФГБНУ МГНЦ.

Выделение ДНК из лейкоцитов периферической крови выполняли с использованием набора реактивов для выделения Wizard® Genomic DNA Purification Kit (Promega, USA) по протоколу производителя. Анализ проведен методом массового параллельного секвенирования (NGS) с использованием кастомной панели «BBS-Joubert», включающей кодирующие последовательности и прилегающие интронные участки 21 гена, ассоциированного с синдромом Барде-Бидля. В панель вошли следующие гены, непосредственно ассоциированные с синдромом Барде-Бидля: BBS1, BBS2, ARL6, BBS4, BBS5, MKKS, BBS7, TTC8, BBS9, BBS10, TRIM32, BBS12, MKS1, CEP290, WDPCP, SDCCAG8, LZTFL1, BBIP1, IFT27, IFT172, C8orf37, а также гены, ассоциированные со схожими фенотипами, такими как синдромы Альстрёма, Жубер, Меккеля, Коэна и другими. Всего в панель вошли 56 генов. С полным списком ге-

Таблица 1

Список генов, включенных в панель «BBS-Joubert», и ассоциированных с ними фенотипов.

Ген	Фенотип				
AHI1	Синдром Жубер 3 (ОМІМ:608629)				
ALMS1	Синдром Альстрёма (ОМІМ:203800)				
ARL13B	Синдром Жубер 8 (ОМІМ:612291)				
ARL6 (BBS3)	Пигментный ретинит 55 (ОМІМ:613575); { синдром Барде-Бидля 1, modifier of} [9] (ОМІМ:209900); синдром Барде-Бидля 3 (ОМІМ:600151)				
ARMC9	Синдром Жубер 30 (ОМІМ:617622)				
B9D1	Синдром Меккеля 9 (ОМІМ:614209); синдром Жубер 27 (ОМІМ:617120)				
B9D2	Синдром Меккеля 10 (ОМІМ:614175); синдром Жубер 34 (ОМІМ:614175)				
BBIP1 (BBS18)	Синдром Барде-Бидля 18 (ОМІМ:615995)				
BBS1	Синдром Барде-Бидля 1 (ОМІМ:209900)				
BBS10	Синдром Барде-Бидля 10 (ОМІМ:615987)				
BBS12	Синдром Барде-Бидля 12 (ОМІМ:615989)				
BBS2	Синдром Барде-Бидля 2 (ОМІМ:615981)				
BBS4	Синдром Барде-Бидля 4 (ОМІМ:615982)				
BBS5	Синдром Барде-Бидля 5 (ОМІМ:615983)				
BBS7	Синдром Барде-Бидля 7 (ОМІМ:615984)				
BBS9	Синдром Барде-Бидля 9 (ОМІМ:615986)				
C5orf42	Синдром Жубер 17 (ОМІМ:614615); оро-фацио-дигитальный синдром VI (ОМІМ:277170)				
C8orf37 (BBS21)	Синдром Барде-Бидля 21 (ОМІМ:617406); конусно-стержневая дистрофия 16 (ОМІМ:614500); пигментный ретинит 64 (ОМІМ:614500)				
CC2D2A	Синдром СОАСН (ОМІМ:216360); синдром Жубер 9 (ОМІМ:612285); синдром Меккеля 6 (ОМІМ:612284)				
CEP104	Синдром Жубер 25 (ОМІМ:616781)				
CEP120	Синдром Жубер 31 (ОМІМ:617761); коротко-реберная торакальная дисплазия 13 с/без полидактилией (ОМІМ:616300)				
CEP290 (BBS14)	Синдром Барде-Бидля 14 (ОМІМ:615991); синдром Жубер 5 (ОМІМ:610188); врожденный амавроз Лебера 10 (ОМІМ:611755); синдром Меккеля 4 (ОМІМ:611134); синдром Сениора-Локена 6, (ОМІМ:610189);				
CEP41	Синдром Жубер 15 (ОМІМ:614464)				
CSPP1	Синдром Жубер 21 (ОМІМ:615636)				
IFT172 (BBS20)	Пигментный ретинит 71, (ОМІМ:616394); коротко-реберная торакальная дисплазия 10 с/без полидактилией (ОМІМ:615630)				
IFT27 (BBS19)	Синдром Барде-Бидля 19 (ОМІМ:615996)				
IFT74	Синдром Барде-Бидля 20 (ОМІМ:617119)				
INPP5E	Синдром Жубер 1, (ОМІМ:213300); умственная отсталость, ожирение туловища, дистрофия сетчатки и микропенис (ОМІМ:610156)				
KIAA0556	Синдром Жубер 26 (ОМІМ:616784)				
KIAA0586	Синдром Жубер 23 (ОМІМ:616490); коротко-реберная торакальная дисплазия 14 с полидактилией (ОМІМ:616546)				
KIAA0753	Оро-фацио-дигитальный синдром XV, (ОМІМ:617127)				
KIF7	Синдром Аль-Газали -Бакалиновой (ОМІМ:607131); гидролетальный синдром 2 (ОМІМ:614120); акрокаллёзный синдром (ОМІМ:200990); синдром Жубер 12 (ОМІМ:200990)				
LZTFL1 (BBS17)	Синдром Барде-Бидля 17 (ОМІМ:615994)				
MKKS (BBS6)	Синдром Барде-Бидля 6 (ОМІМ:605231); синдром Маккьюсика-Кауфмана (ОМІМ:236700)				
MKS1 (BBS13)	Синдром Барде-Бидля 13 (ОМІМ:615990); синдром Жубер 28 (ОМІМ:617121); синдром Меккеля 1 (ОМІМ:249000)				
NPHP1	Синдром Жубер 4 (ОМІМ:609583); нефронофтиз 1, ювенильный (ОМІМ:256100); синдром Сениора-Локена 1 (ОМІМ:266900)				
OFD1	Пигментный ретинит 23 (ОМІМ:300424); синдром Жубер10 (ОМІМ:300804); оро-фацио-дигитальный синдром (ОМІМ:311200); синдром Симпсона-Голаби-Бемель, тип 2 (ОМІМ:300209)				
PDE6D	Синдром Жубер 22 (ОМІМ:615665)				
PIBF1	Синдром Жубер 33 (ОМІМ:617767)				
RPGRIP1L	СОАСН синдром (ОМІМ:216360); синдром Жубер 7 (ОМІМ:611560); синдром Меккеля 5 (ОМІМ:611561)				

Продолжение табл. 1 см. на стр. 29.

Ген	Фенотип				
SDCCAG8	Синдром Барде-Бидля 16 (ОМІМ:615993); синдром Сениора-Локена 7 (ОМІМ:613615)				
(BBS16)					
TCTN1	Синдром Жубер 13 (ОМІМ:614173)				
TCTN2	Синдром Меккеля 8 (ОМІМ:613885); синдром Жубер 24 (ОМІМ:616654)				
TCTN3	Синдром Жубер 18 (ОМІМ:614815); оро-фацио-дигитальный синдром IV (ОМІМ:258860)				
TMEM107	Синдром Жубер 29 (ОМІМ:617562); синдром Меккеля 13 (ОМІМ:617562);				
	оро-фацио-дигитальный синдром XVI (OMIM:617563)				
TMEM138	Синдром Жубер 16 (ОМІМ:614465)				
TMEM216	Синдром Жубер 2 (ОМІМ:608091); синдром Меккеля 2 (ОМІМ:603194)				
TMEM231	Синдром Жубер 20 (ОМІМ:614970); синдром Меккеля 11 (ОМІМ:615397)				
TMEM237	Синдром Жубер 14 (ОМІМ:614424)				
TMEM67	Синдром RHYNS, (ОМІМ:602152); {синдром Барде-Бидля 14, modifier of} (ОМІМ:615991); СОАСН синдром (ОМІМ:216360); синдром Жубер 6 (ОМІМ:610688); синдром Меккеля 3 (ОМІМ:607361); нефронофтиз 11, (ОМІМ:613550)				
TRIM32 (BBS11)	Синдром Барде-Бидля 11 (ОМІМ:615988); мышечная дистрофия поясно-конечностная, аутосомно-рецессивная 8 (ОМІМ:254110)				
TTC21B	Нефронофтиз 12, (ОМІМ:613820); коротко-реберная торакальная дисплазия 4 с полидактилией или без полидактилии (ОМІМ:613819)				
TTC8	Пигментный ретинит 51 (ОМІМ:613464); синдром Барде-Бидля 8 (ОМІМ:615985)				
VPS13B	Коэна синдром (ОМІМ:216550)				
WDPCP (BBS15)	Синдром Барде-Бидля 15 (ОМІМ:615992); врожденные пороки сердца, гамартомы языка и полисиндактилия (ОМІМ:217085)				
ZNF423	Синдром Жубер 19 (ОМІМ:614844); нефронофтиз 14 (ОМІМ:614844)				

нов и фенотипов можно ознакомиться в табл. 1. Гены были выбраны на основании информации базы данных HGMD® Professional.

Для пробоподготовки библиотек использована технология ультрамультиплексной ПЦР, сопряженная с последующим секвенированием (AmpliSeq $^{\text{тм}}$). Анализ ДНК пациентов проведен на секвенаторе нового поколения Ion S5.

Для обработки данных секвенирования и поиска вариантов была использована программа NGS-data, разработанная отделом биоинформатики ФГБНУ МГНЦ.

Для названия выявленных вариантов использовалась номенклатура HGVS. Для оценки популяционных частот выявленных вариантов использована выборка Genome Aggregation Database (gnomAD). Для оценки клинической значимости выявленных вариантов использованы база данных ОМІМ, база данных по патогенным вариантам HGMD® Professional и литературные данные. Оценка патогенности выявленных вариантов проводилась на основании российских рекомендаций для интерпретации данных, полученных методами массового параллельного секвенирования (MPS) [10].

Статистическая обработка проводилась с помощью программы Statistica 12.0. При анализе предполагаемых различий между аллельными частота-

ми патогенных вариантов в российской популяции и популяциями других стран использовался непараметрический критерий χ^2 . Различия считались достоверными при р < 0,05.

Результаты

Варианты были обнаружены на 53 хромосомах (табл. 2). Патогенные варианты были обнаружены на 29 хромосомах. Хромосом с вероятно патогенными вариантами было обнаружено 8, с вариантами неопределенного значения — 16.

В результате исследования у 16 человек из 40 были обнаружены патогенные или вероятно патогенные варианты нуклеотидной последовательности. У 11 пациентов были обнаружены варианты неопределенного клинического значения. У 13 человек вариантов в исследуемых генах не было обнаружено.

У четырех пациентов обнаружено два патогенных варианта, еще у четырех — один патогенный и один вероятно патогенный варианты в компаунд-гетерозиготном состоянии, у шести пациентов обнаружен один патогенный вариант в гомозиготном состоянии, у двоих — вероятно патогенный вариант в гомозиготном состоянии. Следовательно, у 16 пациентов (40%) диагноз «синдром Барде-Бидля» подтвержден молекулярно-генетическим методом.

Таблица 2 Список обнаруженных вариантов в группе пациентов с направительным диагнозом синдром Барде-Бидля

Ген, референсная последовательность	ID пациента	Положение в кДНК	Эффект	Зиготность	Источники
BBS1	79	c.479+2T>G	сплайсинг	Гет	Эта статья
NM_024649.4	/ 9	c.1401C>G p.Tyr467Ter		Гет	Эта статья
	85	c.479+2T>G	сплайсинг	Гомо	Эта статья
	41	c.479G>A p.Arg160Gln		Гет	[4]
	41	c.667del p.Thr223ProfsTer17		Гет	Эта статья
	44	c.1169T>C	p.Met390Arg	Гет	[6]
	68	c.1169T>C	p.Met390Arg	Гет	[6]
BBS2	3	c.943C>T	p.Arg315Trp	Гет	[11, 12]
NM_031885.3	3	c.926C>T	p.Ser309Leu	Гет	Эта статья
	81	c.194A>T	p.Asp65Val	Гет	Эта статья
BBS4 NM_033028.4	67	c.1106+2T>A	сплайсинг	Гомо	[45]
NM_152384.2			сплайсинг	Гомо	Эта статья
CEP290	87	c.6596C>T			Эта статья
NM_025114.3		c.3154A>G	p.Ile1052Val	Гет	Эта статья
BBS7	10	c.1967_1968delTAinsC	p.Leu656ProfsTer18	Гомо	[13]
NM_176824.2	1.5	c.1967_1968delTAinsC	p.Leu656ProfsTer18	Гет	[13]
	15	c.790G>A	p.Gly264Arg	1	
	42	c.1967_1968delTAinsC	p.Leu656ProfsTer18	1 , 0	
	58	c.1967_1968delTAinsC	p.Leu656ProfsTer18	Гет	[13]
		c.712_715delAGAG	12_715delAGAG p.Arg238GlufsTer59 Гет		[9]
	92	c.495G>C	p.Leu165Phe	Гомо	Эта статья
TTC8	50	c.459G>A	p.Thr153Thr	Гет	[14]
NM_198309.3	59	c.651G>T	p.Trp217Cys	Гет	Эта статья
	28	c.128T>C	p.Leu43Ser	Гомо	Эта статья
	82	c.871_875delATCTA	p.Ile301Ter	Гомо	Эта статья
<i>BBS9</i> NM_198428.2	74	c.677_678dupAA	p.Leu227AsnfsTer8	Гомо	Эта статья
BBS10	2	c.1024dup	p.Ile342AsnfsTer20	Гет	[15]
NM_024685.3	2	c.271dup	p.Cys91LeufsTer5	Гет	[7]
	16	c.145C>T	p.Arg49Trp	Гет	[7]
	16	c.271dup	p.Cys91LeufsTer5	Гет	[7]
		c.539G>A	p.Gly180Glu	Гет	[16]
	30	c.271dup	p.Cys91LeufsTer5	Гет	[7]
	40	c.145C>T	p.Arg49Trp	Гомо	[7]
	68	c.1969A>G	p.Thr657Ala	Гет	Эта статья
	80	c.271dup	p.Cys91LeufsTer5	Гомо	[7]
BBS12		c.376G>T	p.Glu126Ter	Гет	Эта статья
NM_152618.2	57	c.2023C>T	p.Arg675Ter	Гет	[17]
	91	c.1792T>G	p.Tyr598Asp	Гомо	Эта статья
<i>MKKS</i> NM_018848.3	51	c.1273-5_1273-2delTTTA insAAAG	сплайсинг	Гет	Эта статья
_		c.110A>G	p.Tyr37Cys	Гет	[13, 18]
	65	c.802C>T	p.Leu268Phe	Гет	Эта статья

Примечание: Гет — вариант в гетерозиготном состоянии, Гомо — вариант в гомозиготном состоянии.

У 11 больных обнаружены варианты неопределенного клинического значения. У трех из них обнаружено два варианта: один патогенный и один вариант неопределенного клинического значения, что не позволяет подтвердить диагноз синдрома Барде-Бидля, т.к. необходимы уточняющие данные. У четырех пациентов обнаружен один вариант неопределенного значения в гомозиготном состоянии. Также, у одного из вышеупомянутых пациентов кроме варианта неопределенного значения в гомозиготном состоянии присутствуют два варианта неопределенного значения в гетерозиготном состоянии в другом гене. У четырех больных не удалось найти второго патогенного варианта.

Патогенные и вероятно патогенные варианты были выявлены в восьми генах *BBS1*, *BBS4*, *BBS7*, *TTC8*, *BBS9*, *BBS10*, *BBS12* и *MKKS* (рис. 1). Все они ассоциированы с синдромом Барде-Бидля. Наиболее часто патогенные и вероятно патогенные варианты были локализованы в генах *BBS1*, *BBS10*, *BBS7*. Большую часть составляют варианты, приводящие к сдвигу рамки считывания (рис. 2). Для генов *BBS1* и *BBS10* полученные данные совпадают с общемировыми [1, 5]. В генах *BBS1*, *BBS7* и *BBS10* были обнаружены повторяющиеся варианты (табл. 3).

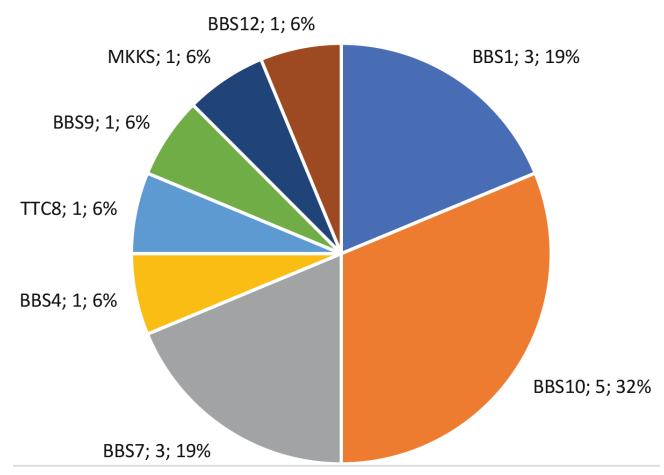
В гене *BBS1* была обнаружена не описанная в литературе однонуклеотидная замена с.479+2T>G, локализованная в каноническом сайте сплайсинга. Данный вариант был обнаружен у двух человек: у пациента 85 в гомозиготном состоянии и у пациента 79 в гетерозиготном состоянии вместе с ранее неописанной нонсенс-заменой с.1401C>G (р.Туг467Ter). Алгоритмы предсказания патогенности SpliceAI, Human Splicing Finder, FSPLICE и MutationTaster расценивают вариант с.479+2T>G как вероятно влияющий на сплайсинг.

Вариант с.1967_1968delTAinsC (р.Leu656ProfsTer18) в гене *BBS7* был обнаружен у четырех человек: у двоих в гомозиготном состоянии и у двоих в гетерозиготном состоянии вместе с другими вариантами в этом гене. В группе обследованных пациентов с установленным диагнозом доля больных с патогенными и вероятно патогенными вариантами в гене *BBS7* составляет 19%.

У всех пяти пациентов с мутациями в гене BBS10 встретились распространенные и неоднократно описанные варианты с.271dup (p.Cys91LeufsTer5) [7, 8] и с.145C>T (p.Arg49Trp) [5, 18].

Обсуждение

Исследование показало, что у 16 человек (40%) присутствуют патогенные или вероятно патогенные варианты в гомозиготном или компаунд-гетерозигот-



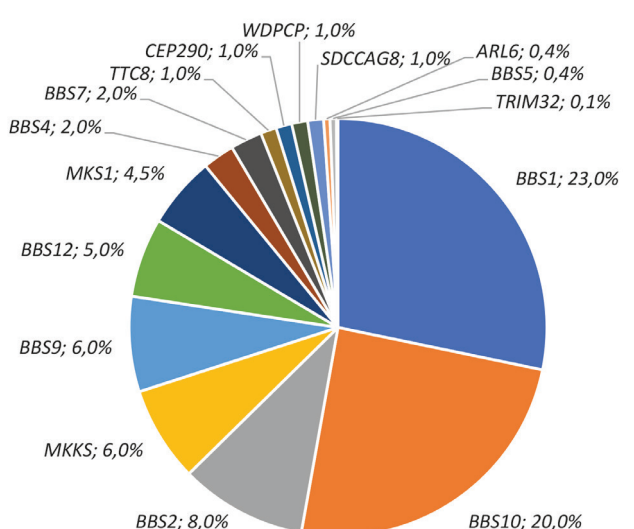


Рис. 1. Распределение патогенных и вероятно патогенных вариантов по генам в группе пациентов с подтвержденным диагнозом: А – настоящее исследование; Б – литературные данные [1].

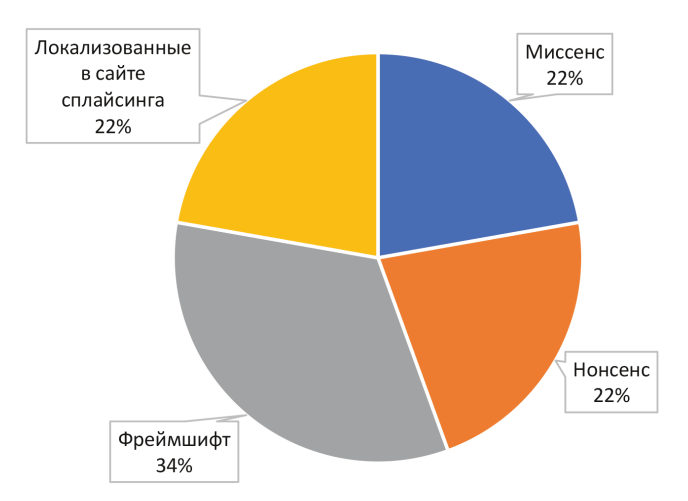


Рис. 2. Типы патогенных и вероятно патогенных вариантов, обнаруженных в группе пациентов с установленным диагнозом.

ном состоянии, что позволяет подтвердить диагноз молекулярно-генетическим методом. Основываясь на литературных данных, эффективность диагностических МПС-панелей, включающих гены, ассоциированные с синдромом Барде-Бидля, составляет 60-87% [34, 46]. В настоящей работе была обследована группа пациентов с размытым фенотипом и, вероятно, не вполне соответствующей синдрому Барде-Бидля клинической картиной. Это может объяснить меньшую выявляемость патогенных и вероятно патогенных вариантов, ассоциированных с синдромом Барде-Бидля, по сравнению с исследованиями, описанными в литературе.

У семи человек обнаружены варианты, интерпретированные как варианты неопределенного клинического значения, которые могут иметь отношение к фенотипу пациентов в случае получения дополнительных подтверждающих данных в виде молекулярно-генетического анализа членов семьи, проведения функционального анализа, а также появления литературных данных, свидетельствующих о патогенности данных вариантов.

Описание выявленных вариантов и генотипы пациентов с установленным в настоящем исследовании диагнозом «синдром Барде-Бидля» приведены в табл. 4.

В настоящей работе показано, что наиболее часто у исследуемой группы пациентов были обнаружены патогенные и вероятно патогенные варианты в генах *BBS1*, *BBS7* и *BBS10*. Доля мутаций в генах *BBS1* и *BBS10* совпадает с долями встречаемости в других популяциях. Согласно общемировым данным, мутации в гене *BBS7* встречаются у 1,5-2% пациентов с синдромом Барде-Бидля, в то время как в группе российских пациентов мутации в этом гене удалось обнару-

жить в 19%. Это позволяет предположить, что мутации в гене *BBS7*, наряду с мутациями в генах *BBS1* и *BBS10*, являются преобладающими в российской популяции.

В гене *BBS1* самым часто встречающимся вариантом стала однонуклеотидная замена, локализованная в каноническом сайте сплайсинга с.479+2T>G. В базе данных Clinvar (RCV000666424) данный вариант интерпретирован как вероятно патогенный, но уточняющих данных не предоставлено. Доля варианта с.479+2T>G в группе пациентов с установленным диагнозом составляет 50% от всех хромосом с патогенными и вероятно патогенными вариантами в этом гене. В то же время наиболее распространенный в мире патогенный вариант, ассоциированный с синдромом Барде-Бидля, 1169T>C (р.Меt390Arg) не встретился в группе обследованных в данной работе пациентов с установленным диагнозом.

Для гена *BBS10* полученные нами данные не отличаются от таковых в других странах. Исследования, проведенные с использованием МПС-панелей генов, показывают, что у 20-31% пациентов варианты локализуются в гене *BBS10*. В настоящем исследовании показано, что патогенные варианты в гене *BBS10* встретились у 32% пациентов. Из 10 хромосом с патогенными вариантами на пяти обнаружен вариант с.271dup (p.Cys91LeufsTer5), на трех хромосомах из 10 -вариант с.145C>T (p.Arg49Trp).

Важной находкой стал патогенный вариант с.1967_1968delTAinsC в гене *BBS7*, встретившийся у трех человек в обследованной группе пациентов. Этот вариант ранее был описан у двух русских пациентов с синдромом Барде-Бидля из одной семьи [19]. Доля варианта с.1967_1968delTAinsC в гене *BBS7* от всех патогенных и вероятно патогенных вариантов в этом гене — 83%. Доля хромосом, несущих вариант

Таблица 3
Повторяющиеся патогенные варианты, обнаруженные у пациентов с подтвержденным диагнозом.

Ген	Вариант	Число хромосом с этим ва- риантом	Число хромосом с П и ВП вариантами в этом гене	Доля от всех хромосом с П и ВП ворианта- ми в этом гене	Доля от об- шего коли- чества хр. с П и ВП вариантами (n=32)	GnomAD ¹	RuExac ²	p-value*
BBS1	c.479+2T>G	3	6	0,5	0,09	0,0000956	0	
BBS7	c.1967_1968delTAinsC	5	6	0,83	0,16	0,00008843	0,0016	p<0,001
BBS10	c.271dup	5	10	0,5	0,16	0,0005642	0,0008	p>0,5
BB310	c.145C>T	3	10	0,3	0,09	0,00005371	0	

Примечание: Π – патогенный вариант, $B\Pi$ – вероятно патогенный вариант; 1 – частота аллеля в базе данных популяционных частот Genome Aggregation Database (gnomAD v.2.1.1) (данные по 125748 экзомов и 15708 геномов), 2 – частота аллеля в базе данных популяционных частот у российского населения RuExac (данные по 1223 экзомов).

с.1967_1968delTAinsC от всех хромосом с патогенными и вероятно патогенными вариантами (n=32) составляет 15,6%, что делает его самым распространенным в обследованной группе пациентов наряду с патогенным вариантом с.271dup в гене *BBS10*.

Вариант с.1967_1968delTAinsC в гене *BBS7* был описан в гетерозиготном состоянии с другим вариантом у одного пациента европейского происхождения (данных о национальности не предоставлено) с синдромом Барде-Бидля, но уточняющих данных, свидетельствующих в пользу патогенности данного варианта не было предоставлено [13]. Этот вариант также был ранее описан у двух сибсов из русской семьи.

У обоих сибсов вариант зарегистрирован в гомозиготном состоянии. Родители и третий ребенок являются гетерозиготными носителями. Авторы сообщают, что обнаружили данный вариант в гетерозиготном состоянии у 0,07% здоровых российских индивидов (всего было обследовано 2832 человека) [19]. В базе базе данных популяционных частот gnomAD вариант с.1967_1968delTAinsC зарегистрирован с частотой 0,0088%, в то время как в базе данных популяционных частот российского населения RuExac, основанной на данных по 1223 экзомов, данный вариант зарегистрирован с частотой 0,16% (табл. 3). Согласно gnomAD, частота данного варианта в европей-

Таблица 4

Генотипы пациентов с подтвержденным диагнозом

Номер ДНК	Ген	кДНК	Эффект	Зиготность	Критерии патогенно- сти/Источник	Патогенность
79	BBS1	c.479+2T>G	сплайсинг	гетеро	PVS1, PM2, PP3	П
		c.1401C>G	p.Tyr467Ter	гетеро	PVS1, PM2	ВП
85	BBS1	c.479+2T>G	сплайсинг	гомо	PVS1, PM2, PP3	П
41	BBS1	c.479G>A	p.Arg160Gln	гетеро	[4]	П
41		c.667delA	p.Thr223ProfsTer17	гетеро	PVS1, PM2, PM3	П
67	BBS4	c.1106+2T>A	сплайсинг	гомо	[45]	П
10	BBS7	c.1967_1968delTAinsC	p.Leu656ProfsTer18	гомо	[13]	П
42	BBS7	c.1967_1968delTAinsC	p.Leu656ProfsTer18	гомо	[13]	П
58	BBS7	c.1967_1968delTAinsC	p.Leu656ProfsTer18	гетеро	[13]	П
38	ВВЗ/	c.712_715delAGAG	p.Arg238GlufsTer59	гетеро	[9]	П
82	TTC8	c.871_875delATCTA	p.Ile301Ter	гомо	PVS1, PM2	ВП
74	BBS9	c.677_678dupAA	p.Leu227AsnfsTer8	гомо	PVS1, PM2	ВП
2	BBS10	c.1024dup	p.Ile342AsnfsTer20	гетеро	[15]	П
2		c.271dup	p.Cys91LeufsTer5	гетеро	[7]	П
16	BBS10	c.145C>T	p.Arg49Trp	гетеро	[7]	П
10		c.271dupT	p.Cys91LeufsTer5	гетеро	[7]	П
30	BBS10	c.539G>A	p.Gly180Glu	гетеро	[16]	П
30		c.271dupT	p.Cys91LeufsTer5	гетеро	[7]	П
40	BBS10	c.145C>T	p.Arg49Trp	гомо	гомо [7]	
80	BBS10	c.271dupT	p.Cys91LeufsTer5	гомо	[7]	П
57	BBS12	c.376G>T	p.Glu126Ter	гетеро	PVS1, PM2	ВП
57		c.2023C>T	p.Arg675Ter	гетеро	[17]	П
51	MKKS	c.1273-5_1273- 2delTTTAinsAAAG	сплайсинг	гетеро	PVS1, PM2	ВП
		c.110A>G	p.Tyr37Cys	гетеро	[13, 18]	П

Примечание: Гет — вариант в гетерозиготном состоянии, Гомо — вариант в гомозиготном состоянии; Π — патогенный вариант; $B\Pi$ — вероятно патогенный вариант.

ской популяции составляет 0.019%, в африканской -0.004%. В других популяциях данный вариант не зарегистрирован.

Для проверки статистической достоверности различий аллельных частот варианта с.1967_1968delTAinsC в российской популяции относительно частот в других странах мира использовался непараметрический критерий χ^2 . В результате расчётов было установлено статистически значимое (p<0,001) повышение частоты данного варианта в российской популяции.

Все три пациента из настоящего исследования, имеющие патогенный вариант с.1967_1968delTAinsC, имеют русское происхождение. Более высокая частота варианта с.1967_1968delTAinsC в российской популяции, а также отсутствие ассоциации данного патогенного варианта с синдромом Барде-Бидля в других популяциях позволяет предположить, что вариант с.1967_1968delTAinsC в гене *BBS7* является мажорным и обладает эффектом основателя в российской популяции.

Согласно литературным данным, мутации в гене *BBS7* встречаются у 1,5-2% пациентов с синдромом Барде-Бидля [5, 13, 20]. В турецкой популяции разные патогенные варианты в этом гене встретились у 15% (2 из 13 человек), что может быть объяснено изолированностью популяции. Вариант с.1967_1968delTAinsC не был обнаружен [15].

На основании полученных результатов можно разработать систему поиска частых патогенных и вероятно патогенных вариантов, ассоциированных с синдромом Барде-Бидля (представлены в табл. 3) и использовать ее как первый этап молекулярно-генетической диагностики этого заболевания. Можно полагать, что эффективность такой системы будет составлять 50% от всех хромосом с патогенными и вероятно патогенными вариантами, ассоциированными с синдромом Барде Бидля (16 из 32 хромосом). Но стоит обратить внимание на то, что в половине случаев частые патогенные варианты в генах BBS1, BBS7 и BBS10 были обнаружены в гетерозиготном состоянии с другими более редкими вариантами. Учитывая этот факт, на данный момент невозможно предположить, насколько эффективной будет система поиска частых патогенных вариантов, ассоциированных с синдромом Барде-Бидля.

Половина из обнаруженных нами вариантов нуклеотидной последовательности ранее не была описана, что еще раз подчеркивает необходимость изучения молекулярно-генетической природы такого редкого заболевания как синдром Барде-Бидля.

На данный момент МПС-панель генов «BBS-Joubert» показала себя эффективной в отношении диагностики синдрома Барде-Бидля. Выявляемость составила 40%. Панель включает кодирующие последовательности всех известных на сегодняшний день генов (n=21), ассоциированных с синдромом Барде-Бидля, что делает ее эффективным и исчерпывающим инструментом для молекулярно-генетической диагностики этой патологии.

Литература

- 1. Forsythe E., Beales P.L. Bardet-Biedl syndrome. Eur J Hum Genet 2013; 21(1): 8-13.
- 2. Farag T.I., Teebi A.S. High incidence of Bardet Biedl syndrome among the Bedouin. Clin Genet 1989; 36(6): 463-464.
- 3. Fliegauf M., Benzing T. T., Omran H. When cilia go bad: cilia defects and ciliopathies. Nat Rev Mol Cell Biol 2007; 8(11): 880-893.
- Hichri H., et al. Testing for triallelism: analysis of six BBS genes in a Bardet-Biedl syndrome family cohort. Eur J Hum Genet 2005; 13(5): 607-616.
- 5. Deveault C., et al. BBS genotype-phenotype assessment of a multiethnic patient cohort calls for a revision of the disease definition. Hum Mutat 2011; 32(6): 610-619.
- Mykytyn K., et al. Identification of the gene (BBS1) most commonly involved in Bardet-Biedl syndrome, a complex human obesity syndrome. Nat Genet 2002; 31(4): 435-438.
- Lindstrand A., et al. Recurrent CNVs and SNVs at the NPHP1 locus contribute pathogenic alleles to Bardet-Biedl syndrome. Am J Hum Genet 2014; 94(5): 745-754.
- Sathya Priya C., et al. Mutation spectrum in BBS genes guided by homozygosity mapping in an Indian cohort. Clin Genet 2015; 87(2): 161-166.
- 9. Bin J., et al. BBS7 and TTC8 (BBS8) mutations play a minor role in the mutational load of Bardet-Biedl syndrome in a multiethnic population. Hum Mutat 2009; 30(7):E737-746.
- 10. Рыжкова О.П., Кардымон О.Л., Прохорчук Е.Б., Коновалов Ф.А., Масленников А.Б., Степанов В.А., Афанасьев А.А., Заклязьминская Е.В., Ребриков Д.В., Савостьянов К.В., Глотов А.С., Костарева А.А., Павлов А.Е., Голубенко М.В., Поляков А.В., Куцев С.И. Руководство по интерпретации данных последовательности ДНК человека, полученных методами массового параллельного секвенирования (MPS) (редакция 2018, версия 2). Медицинская генетика 2019; 18(2): 3–23.
- Katsanis N., et al. Triallelic inheritance in Bardet-Biedl syndrome, a Mendelian recessive disorder. Science 2001; 293(5538): 2256-2259.
- Zaghloul N.A., et al. Functional analyses of variants reveal a significant role for dominant negative and common alleles in oligogenic Bardet-Biedl syndrome. Proc Natl Acad Sci U S A 2010; 107(23):10602-10607.
- 13. Muller J., et al. Identification of 28 novel mutations in the Bardet-Biedl syndrome genes: the burden of private mutations in an extensively heterogeneous disease. Hum Genet 2010; 127(5): 583-593.
- 14. Stoetzel C., et al. BBS8 is rarely mutated in a cohort of 128 Bardet-Biedl syndrome families. J Hum Genet 2006; 51(1): 81-84.
- 15. Ece Solmaz A., et al. Targeted multi-gene panel testing for the diagnosis of Bardet Biedl syndrome: Identification of nine novel mutations across BBS1, BBS2, BBS4, BBS7, BBS9, BBS10 genes. Eur J Med Genet 2015; 58(12): 689-694.
- Janssen S., et al. Mutation analysis in Bardet-Biedl syndrome by DNA pooling and massively parallel resequencing in 105 individuals. Hum Genet 2011; 129(1): 79-90.
- 17. Dulfer E., et al. Two sibs with Bardet-Biedl syndrome due to mutations in BBS12: no clues for modulation by a third mutation in BBS10. Am J Med Genet A 2010; 152A(10): 2666-2669.

- Scheidecker S., et al. Predominantly Cone-System Dysfunction as Rare Form of Retinal Degeneration in Patients With Molecularly Confirmed Bardet-Biedl Syndrome. Am J Ophthalmol 2015; 160(2):364-372 e1.
- Suspitsin E.N., et al. Exome Sequencing of a Family with Bardet-Biedl Syndrome Identifies the Common Russian Mutation c.1967 1968delTAinsC in BBS7. Mol Syndromol 2015; 6(2): 96-98.
- Katsanis, N., The oligogenic properties of Bardet-Biedl syndrome. Hum Mol Genet 2004; 13 (Spec 1): R65-71.

References

- Forsythe E., Beales P.L. Bardet-Biedl syndrome. Eur J Hum Genet 2013; 21(1): 8-13.
- Farag T.I., Teebi A.S. High incidence of Bardet Biedl syndrome among the Bedouin. Clin Genet 1989; 36(6): 463-464.
- 3. Fliegauf M., Benzing T. T., Omran H. When cilia go bad: cilia defects and ciliopathies. Nat Rev Mol Cell Biol 2007; 8(11): 880-893.
- Hichri H., et al. Testing for triallelism: analysis of six BBS genes in a Bardet-Biedl syndrome family cohort. Eur J Hum Genet 2005; 13(5): 607-616.
- 5. Deveault C., et al. BBS genotype-phenotype assessment of a multiethnic patient cohort calls for a revision of the disease definition. Hum Mutat 2011; 32(6): 610-619.
- Mykytyn K., et al. Identification of the gene (BBS1) most commonly involved in Bardet-Biedl syndrome, a complex human obesity syndrome. Nat Genet 2002; 31(4): 435-438.
- Lindstrand A., et al. Recurrent CNVs and SNVs at the NPHP1 locus contribute pathogenic alleles to Bardet-Biedl syndrome. Am J Hum Genet 2014; 94(5): 745-754.
- Sathya Priya C., et al. Mutation spectrum in BBS genes guided by homozygosity mapping in an Indian cohort. Clin Genet 2015; 87(2): 161-166
- 9. Bin J., et al. BBS7 and TTC8 (BBS8) mutations play a minor role in the mutational load of Bardet-Biedl syndrome in a multiethnic population. Hum Mutat 2009; 30(7):E737-746.

- Ryzhkova O.P., Kardymon O.L., Prokhorchuk E.B., Konovalov F.A., Maslennikov A.B., Stepanov V.A., Afanasyev A.A., Zaklyazminskaya E.V., Rebrikov D.V., Savostianov K.V., Glotov A.S., Kostareva A.A., Pavlov A.E., Golubenko M.V., Polyakov A.V., Kutsev S.I. Rukovodstvo po interpretatsii dannykh posledovatel'nosti DNK cheloveka, poluchennykh metodami massovogo parallel'nogo sekvenirovaniya (MPS) (redaktsiya 2018, versiya 2). [Guidelines for the interpretation of massive parallel sequencing variants (update 2018, v2)]. Meditsinskaya genetika [Medical genetics] 2019; 18(2): 3–24. (In Russ.)
- Katsanis N., et al. Triallelic inheritance in Bardet-Biedl syndrome, a Mendelian recessive disorder. Science 2001; 293(5538): 2256-2259.
- Zaghloul N.A., et al. Functional analyses of variants reveal a significant role for dominant negative and common alleles in oligogenic Bardet-Biedl syndrome. Proc Natl Acad Sci U S A 2010; 107(23):10602-10607.
- 13. Muller J., et al. Identification of 28 novel mutations in the Bardet-Biedl syndrome genes: the burden of private mutations in an extensively heterogeneous disease. Hum Genet 2010; 127(5): 583-593.
- Stoetzel C., et al. BBS8 is rarely mutated in a cohort of 128 Bardet-Biedl syndrome families. J Hum Genet 2006; 51(1): 81-84.
- Ece Solmaz A., et al. Targeted multi-gene panel testing for the diagnosis of Bardet Biedl syndrome: Identification of nine novel mutations across BBS1, BBS2, BBS4, BBS7, BBS9, BBS10 genes. Eur J Med Genet 2015; 58(12): 689-694.
- Janssen S., et al. Mutation analysis in Bardet-Biedl syndrome by DNA pooling and massively parallel resequencing in 105 individuals. Hum Genet 2011; 129(1): 79-90.
- Dulfer E., et al. Two sibs with Bardet-Biedl syndrome due to mutations in BBS12: no clues for modulation by a third mutation in BBS10. Am J Med Genet A 2010; 152A(10): 2666-2669.
- Scheidecker S., et al. Predominantly Cone-System Dysfunction as Rare Form of Retinal Degeneration in Patients With Molecularly Confirmed Bardet-Biedl Syndrome. Am J Ophthalmol 2015; 160(2):364-372 e1.
- Suspitsin E.N., et al. Exome Sequencing of a Family with Bardet-Biedl Syndrome Identifies the Common Russian Mutation c.1967 1968delTAinsC in BBS7. Mol Syndromol 2015; 6(2): 96-98.
- Katsanis, N., The oligogenic properties of Bardet-Biedl syndrome. Hum Mol Genet 2004; 13 (Spec 1): R65-71.